

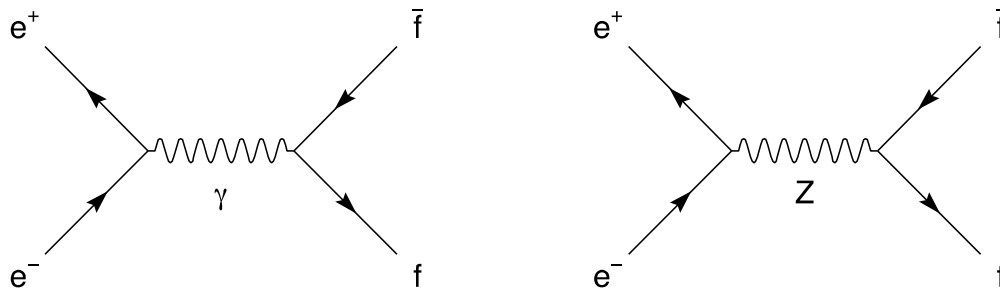
11. Experimentelle Tests der elektroschwachen Wechselwirkung

11.1 Fermi-Theorie der schwachen Wechselwirkung im Grenzfall niedriger Energie

11.2 Elektroschwache Vereinheitlichung (Glashow, Salam, Weinberg)

11.3 Vorhersagen der elektroschwachen Theorie

11.4 Test der elektroschwachen Theorie bei LEP



CERN / Genf

e^+e^- -Beschleuniger,
27 km Umfang

LEP-I (1989-1995) $\sqrt{s} = 91$ GeV

LEP-II (1996-2000) $\sqrt{s} \rightarrow 208$ GeV

L3

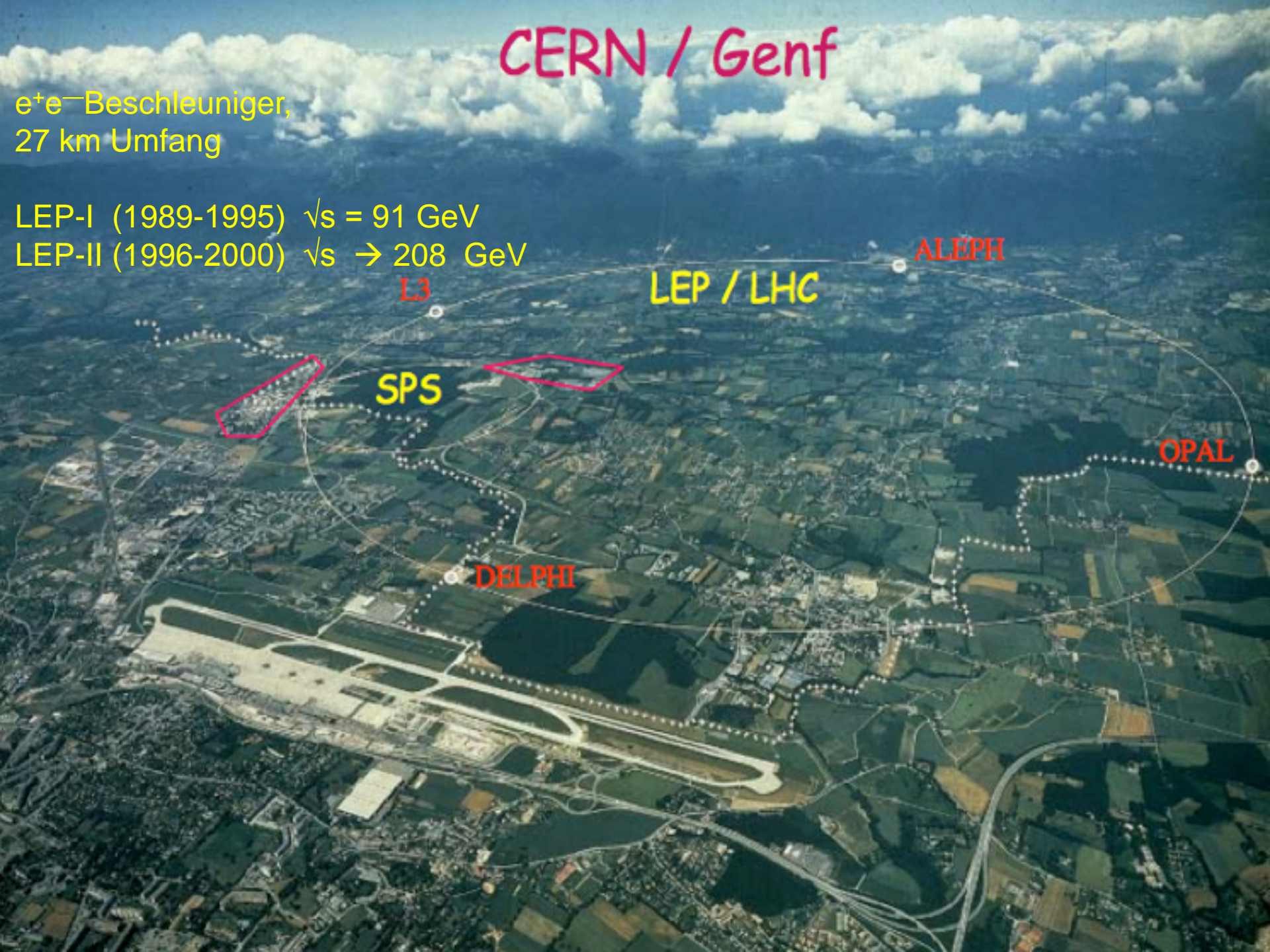
LEP / LHC

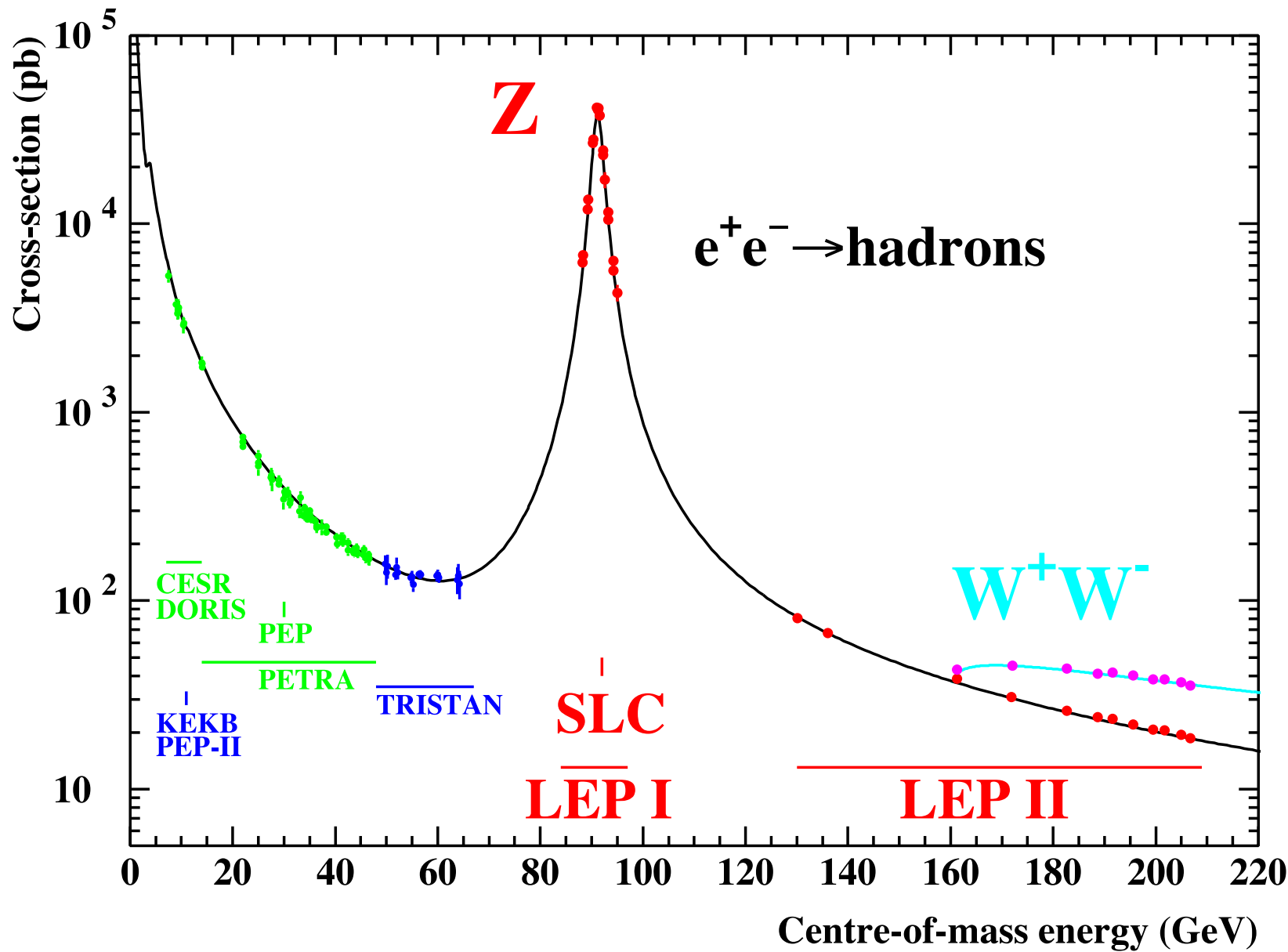
ALEPH

SPS

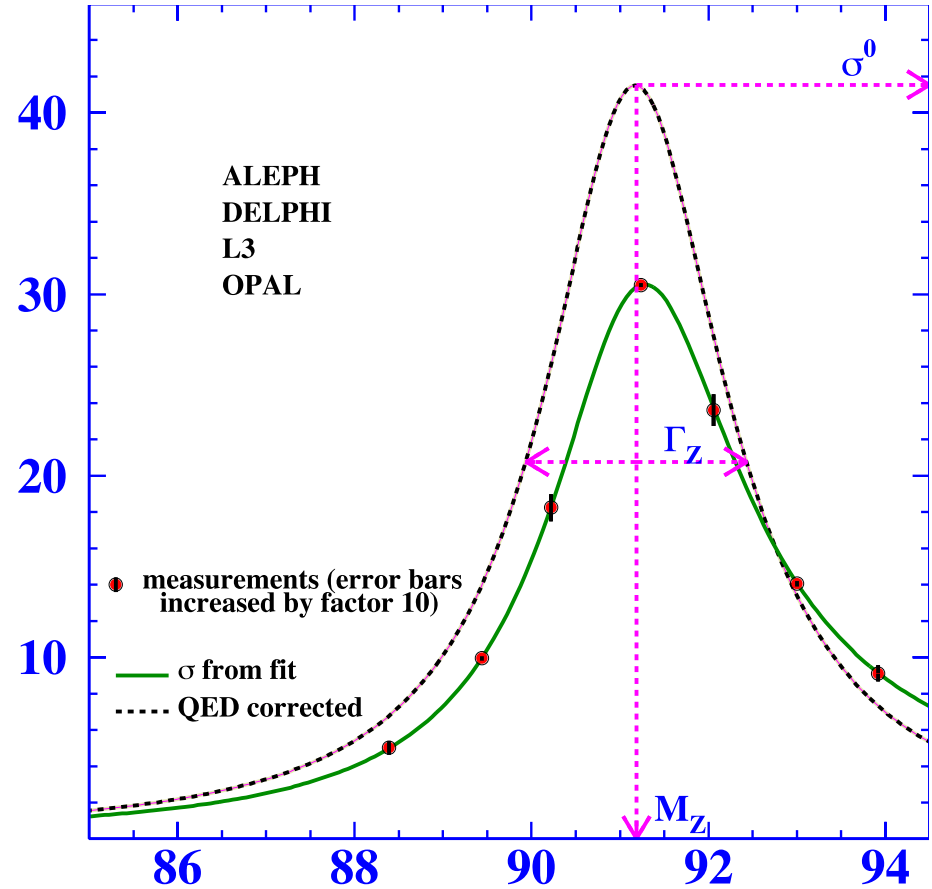
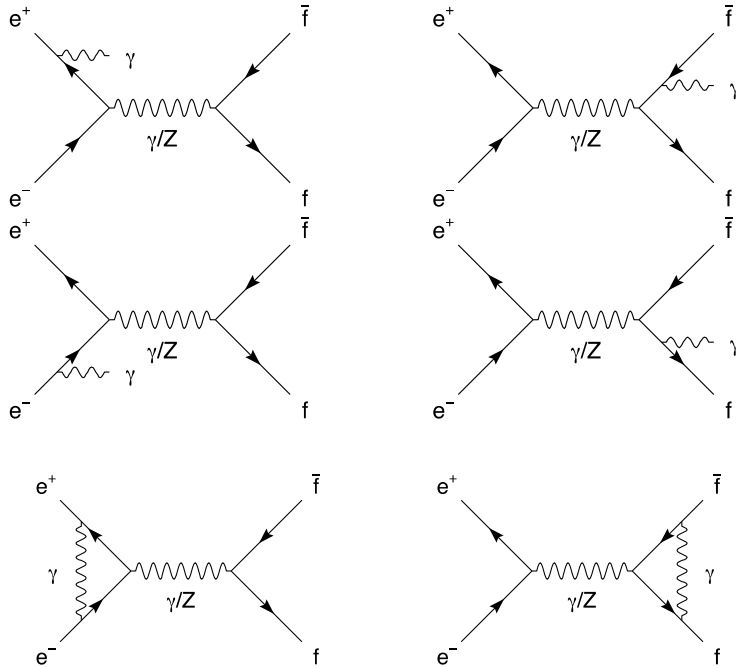
OPAL

DELPHI

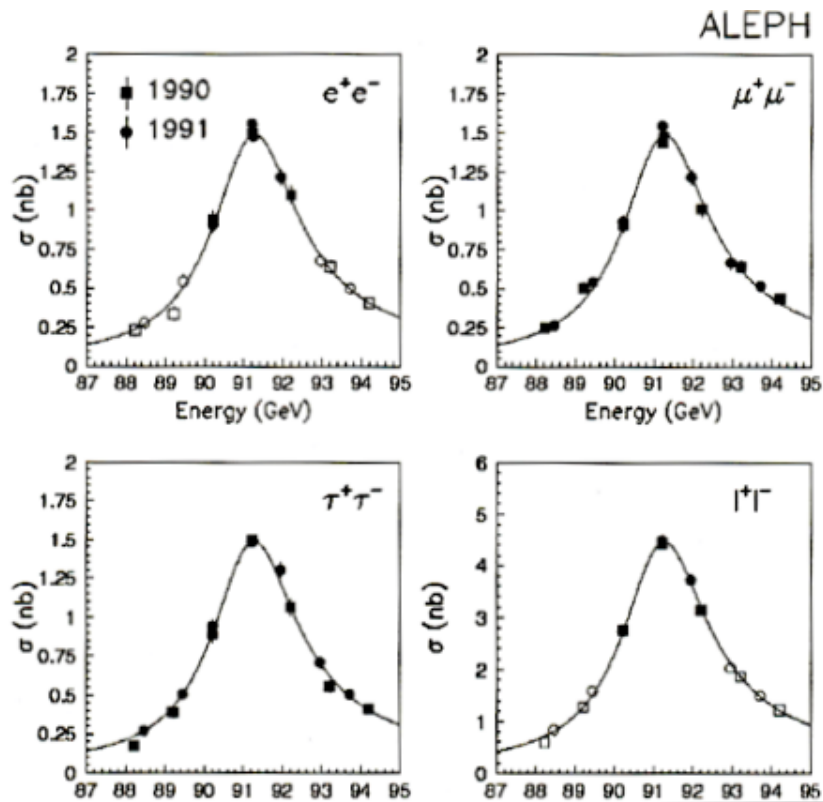




Effects of radiative corrections (photon radiation, processes of higher order)

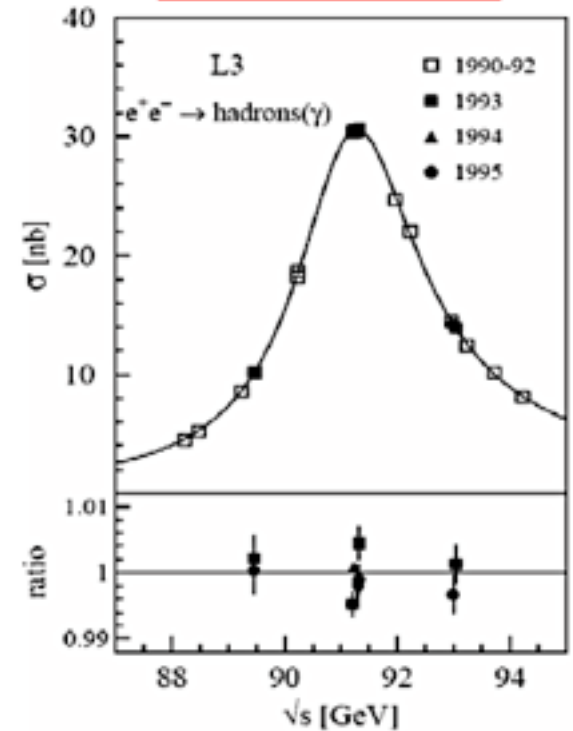


Lepton-Universalität



- Keine Unterschiede für verschiedene Leptonarten
→ Lepton-Universalität
- Form der Resonanzkurve für alle Endzustände gleich

Hadronischer Wirkungsquerschnitt



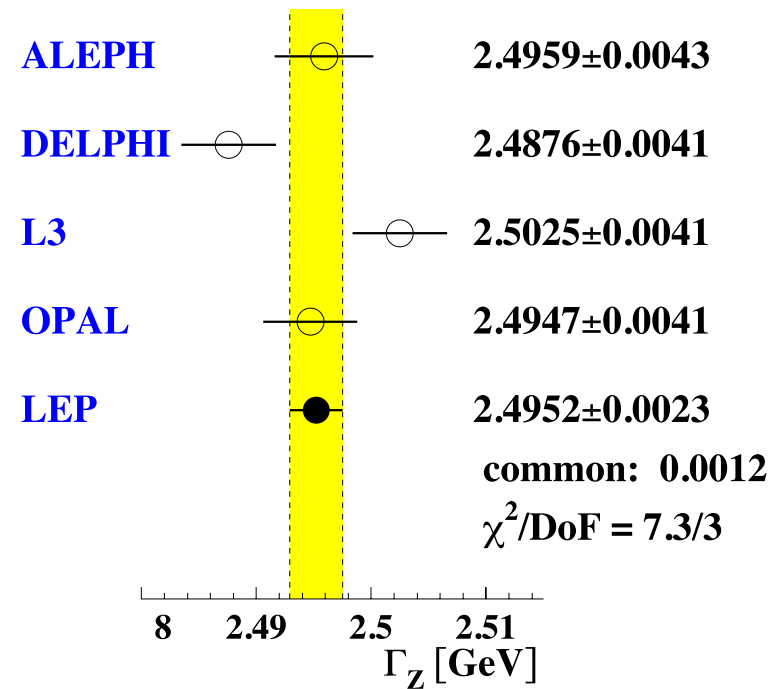
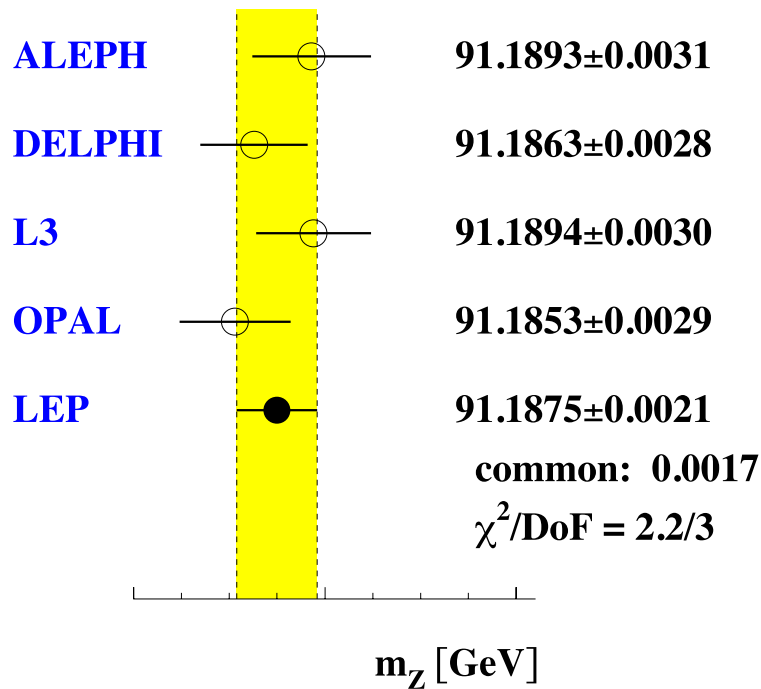
Quark-Flavor i.a. nicht exp. trennbar
(Ausnahme: $c, b \rightarrow$ Lebensdauer)
⇒ had. Breite: $\Gamma_{\text{had}} = \Gamma_u + \Gamma_d + \Gamma_s + \Gamma_c + \Gamma_b$

Messe Verhältnisse der Pol-WQ:

$$R_l^0 \equiv \frac{\Gamma_{\text{had}}}{\Gamma_{ll}} \quad l = e, \mu, \tau$$

$$R_q^0 \equiv \frac{\Gamma_{qq}}{\Gamma_{\text{had}}} \quad q = b, c$$

Gemessene Parameter des Z-Bosons



$$m_Z = 91.1875 \pm 0.0021 \text{ GeV}$$

$$\Gamma_Z = 2.4952 \pm 0.0023 \text{ GeV}$$

Parameter der Z-Resonanzkurve

$$m_Z = 91.1875 \pm 0.0021 \text{ GeV} \quad (\pm 23 \text{ ppm})$$

(*)

$$\Gamma_Z = 2.4952 \pm 0.0023 \text{ GeV}$$

$$\Gamma_{\text{had}} = 1.7458 \pm 0.0027 \text{ GeV}$$

$$\Gamma_e = 0.08392 \pm 0.00012 \text{ GeV}$$

$$\Gamma_\mu = 0.08399 \pm 0.00018 \text{ GeV}$$

$$\Gamma_\tau = 0.08408 \pm 0.00022 \text{ GeV}$$

$\pm 0.09 \%$

3 leptons are treated independently



test of lepton universality

$$\Gamma_Z = 2.4952 \pm 0.0023 \text{ GeV}$$

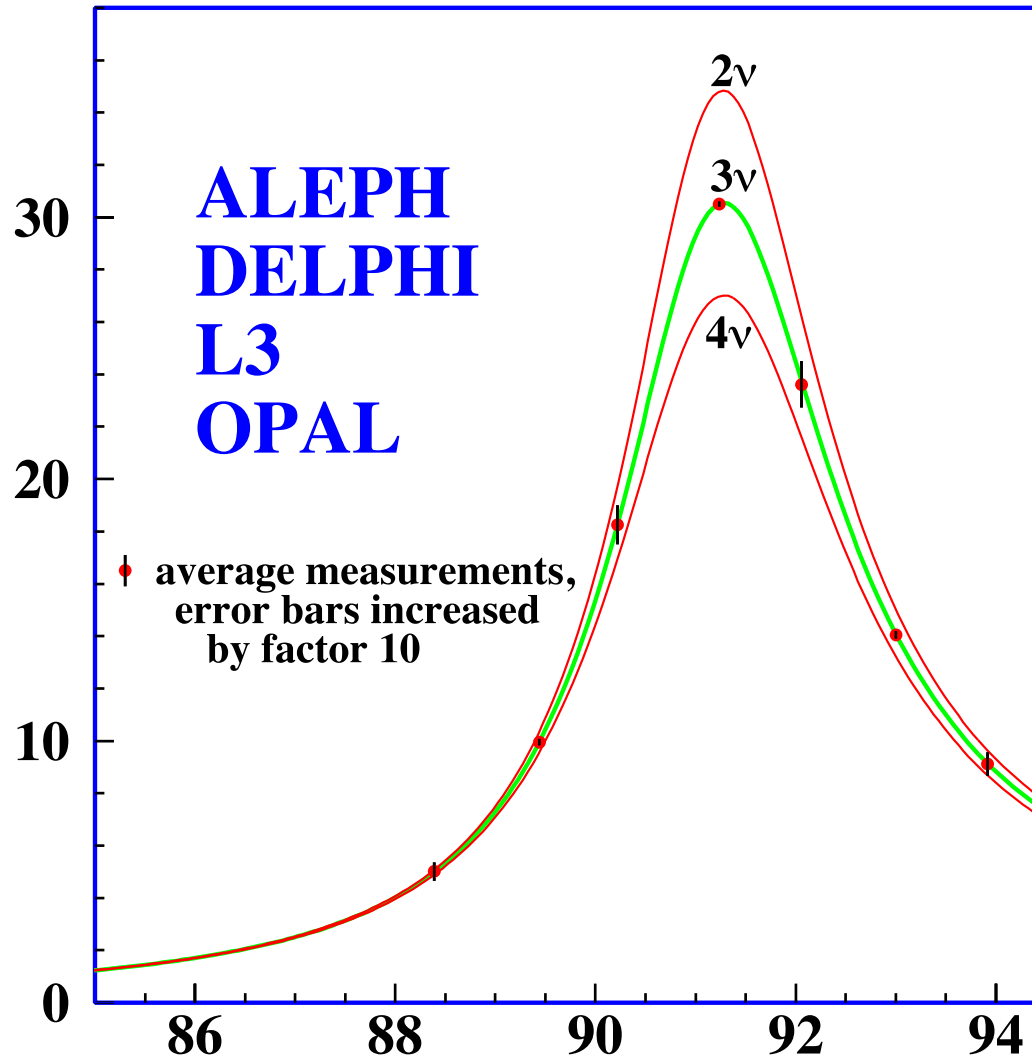
$$\Gamma_{\text{had}} = 1.7444 \pm 0.0022 \text{ GeV}$$

$$\Gamma_e = 0.083985 \pm 0.000086 \text{ GeV}$$

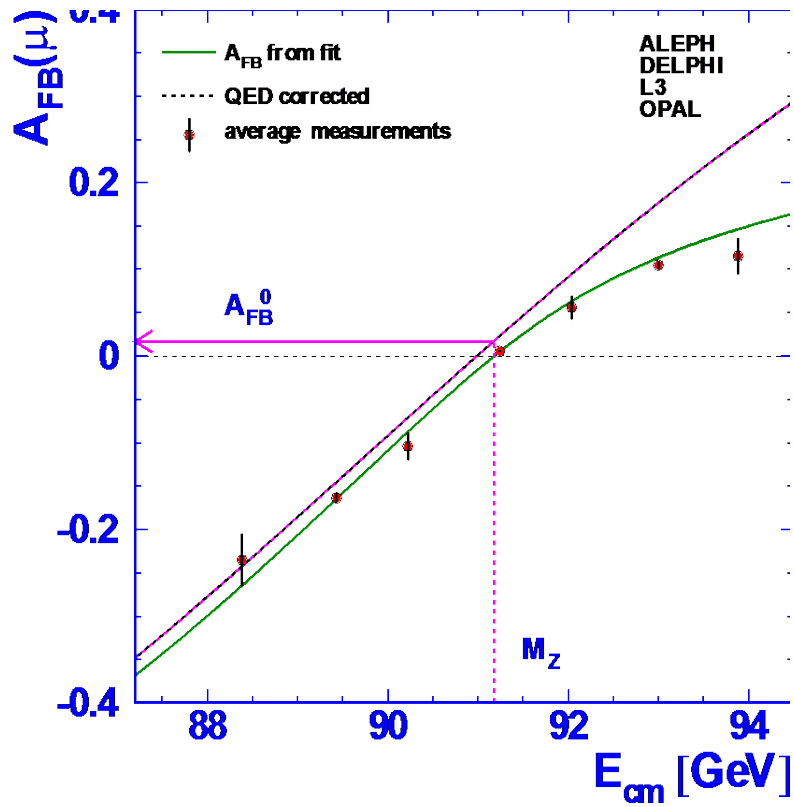
Assuming lepton universality: $\Gamma_e = \Gamma_\mu = \Gamma_\tau$

*) error of the LEP energy determination: $\pm 1.7 \text{ MeV}$ (19 ppm)

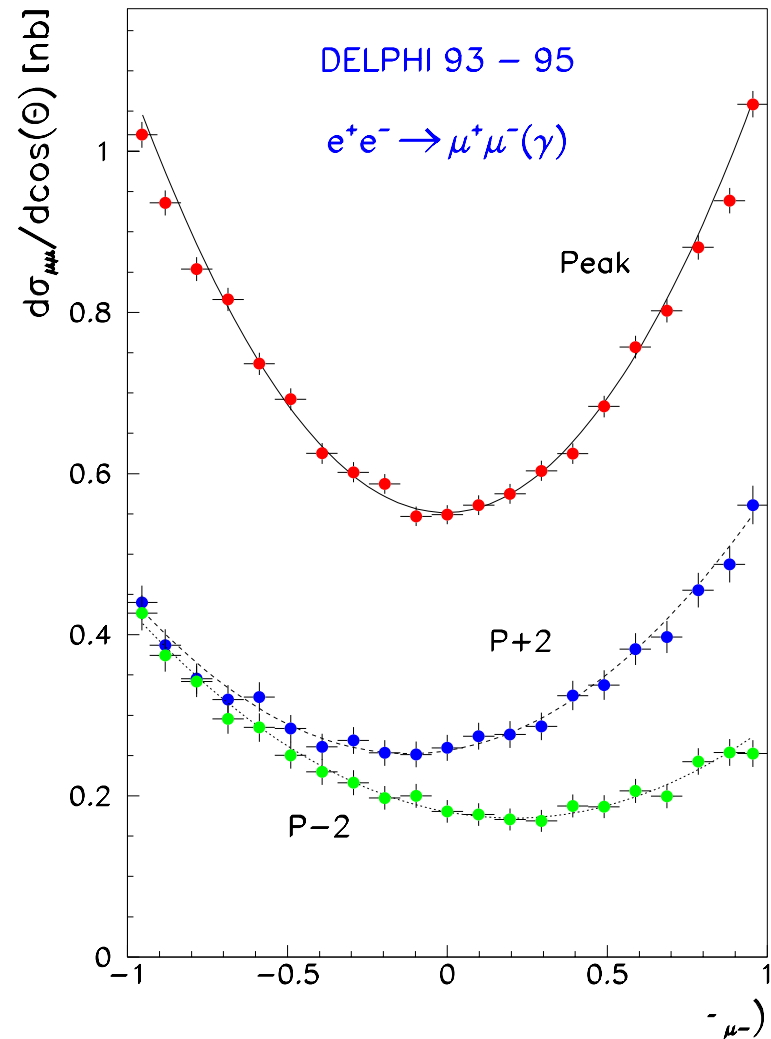
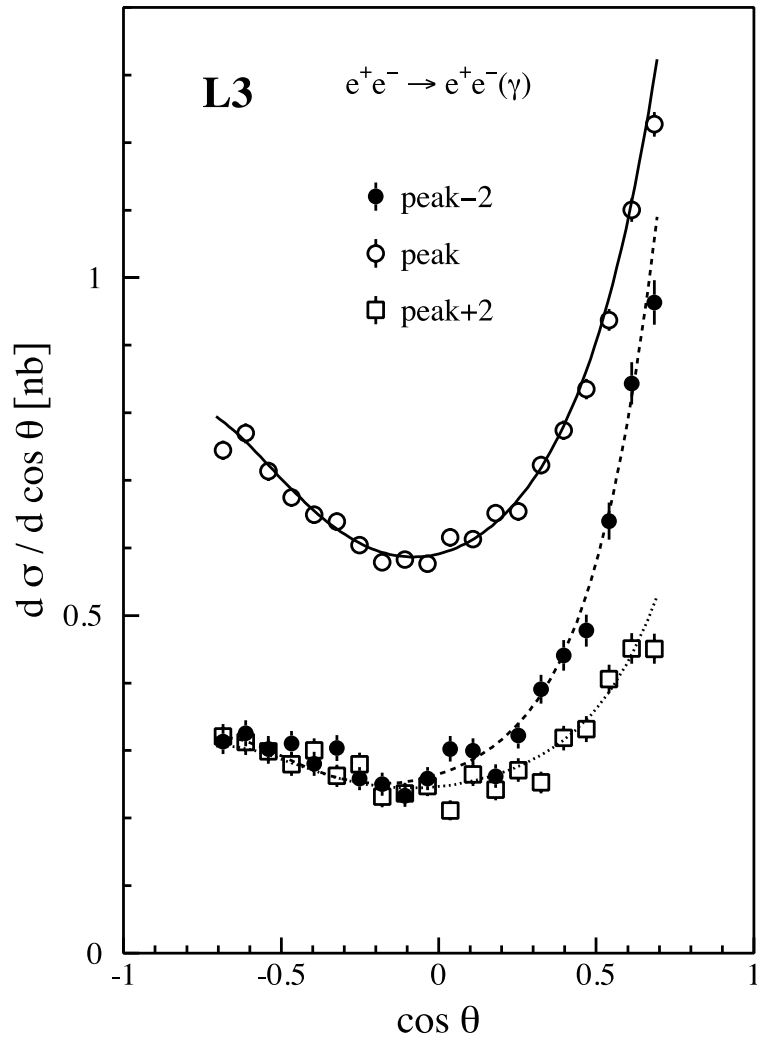
Messung der Zahl der Neutrinos



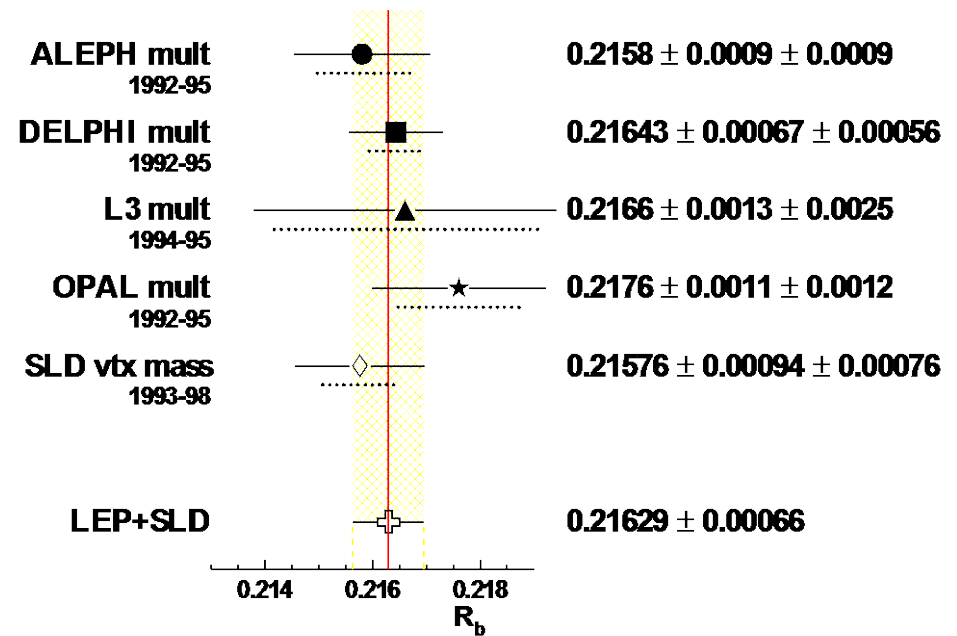
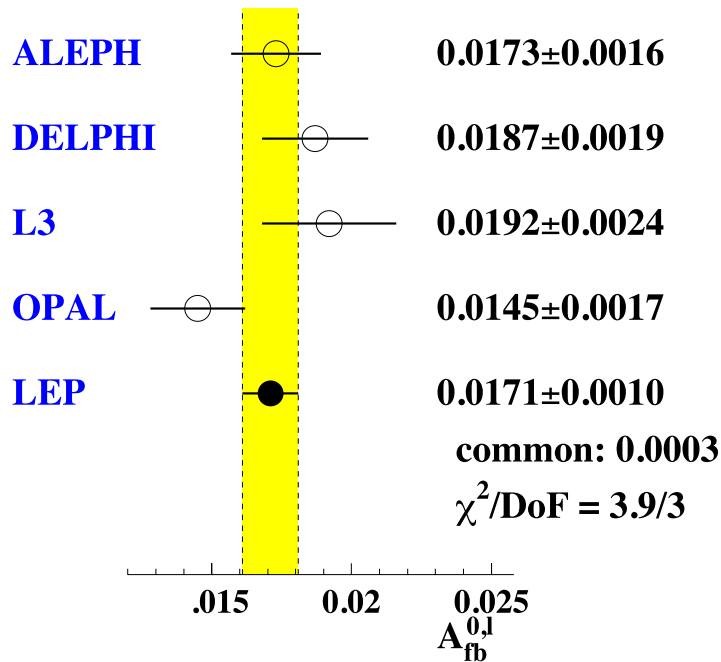
Vorwärts- Rückwärts-Asymmetrien



cos θ - Abhängigkeit des Wirkungsquerschnitts



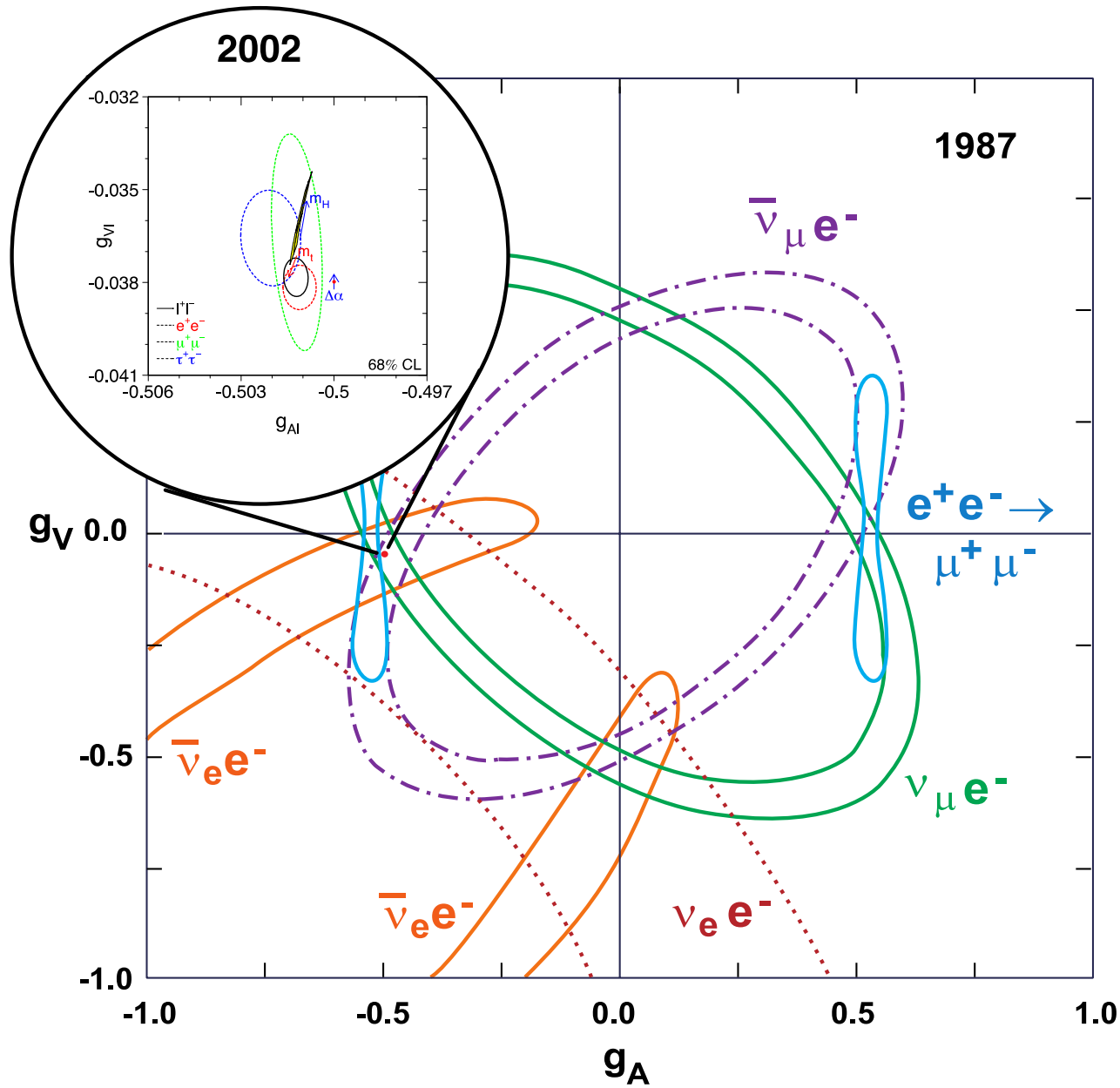
Gemessene Parameter des Z-Bosons



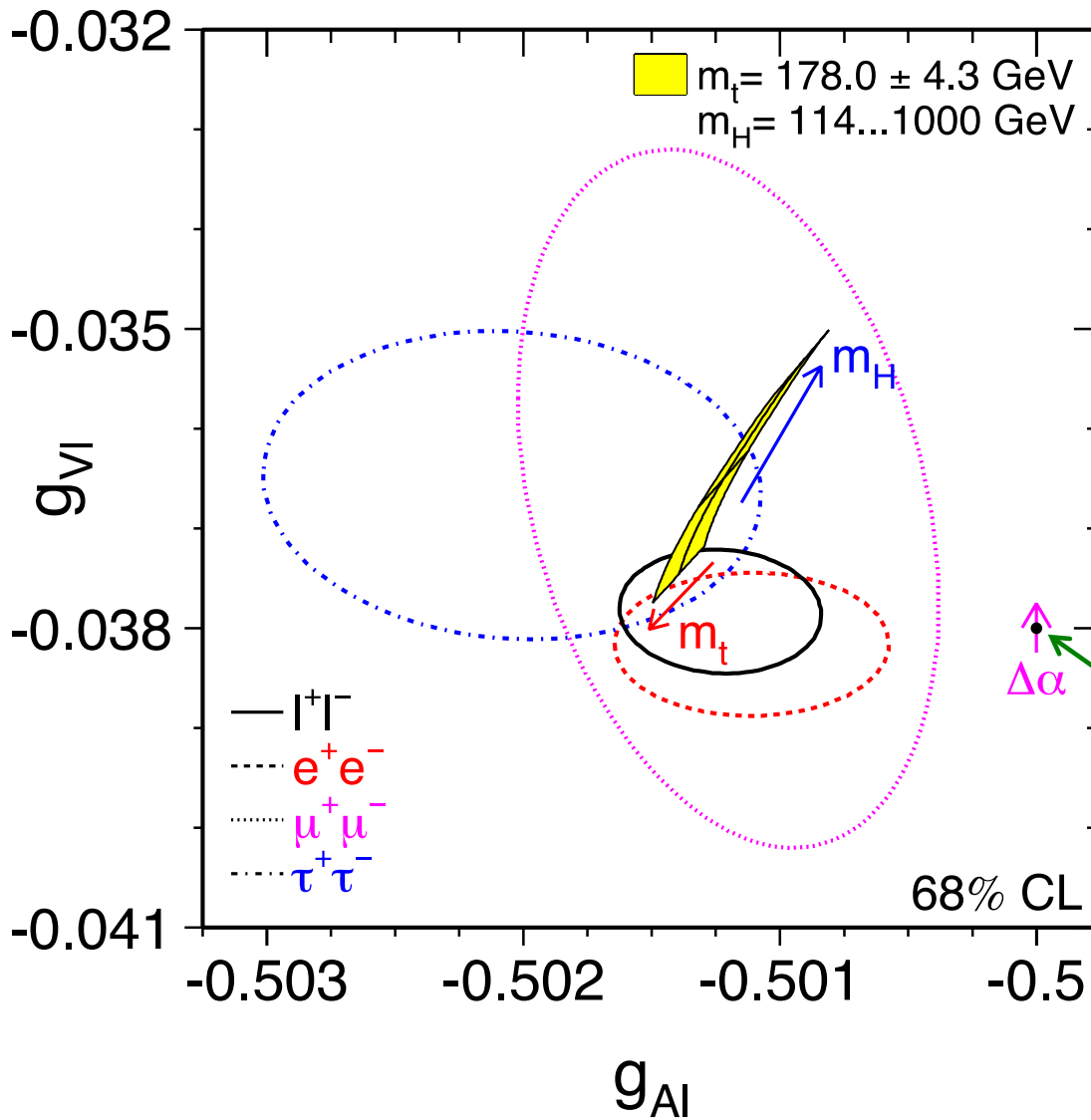
LEP-Messungen im Vergleich zu den Vorhersagen des Standardmodells



Fortschritte in den Messungen der elektroschwachen Kopplungen



Fortschritte in den Messungen der elektroschwachen Kopplungen

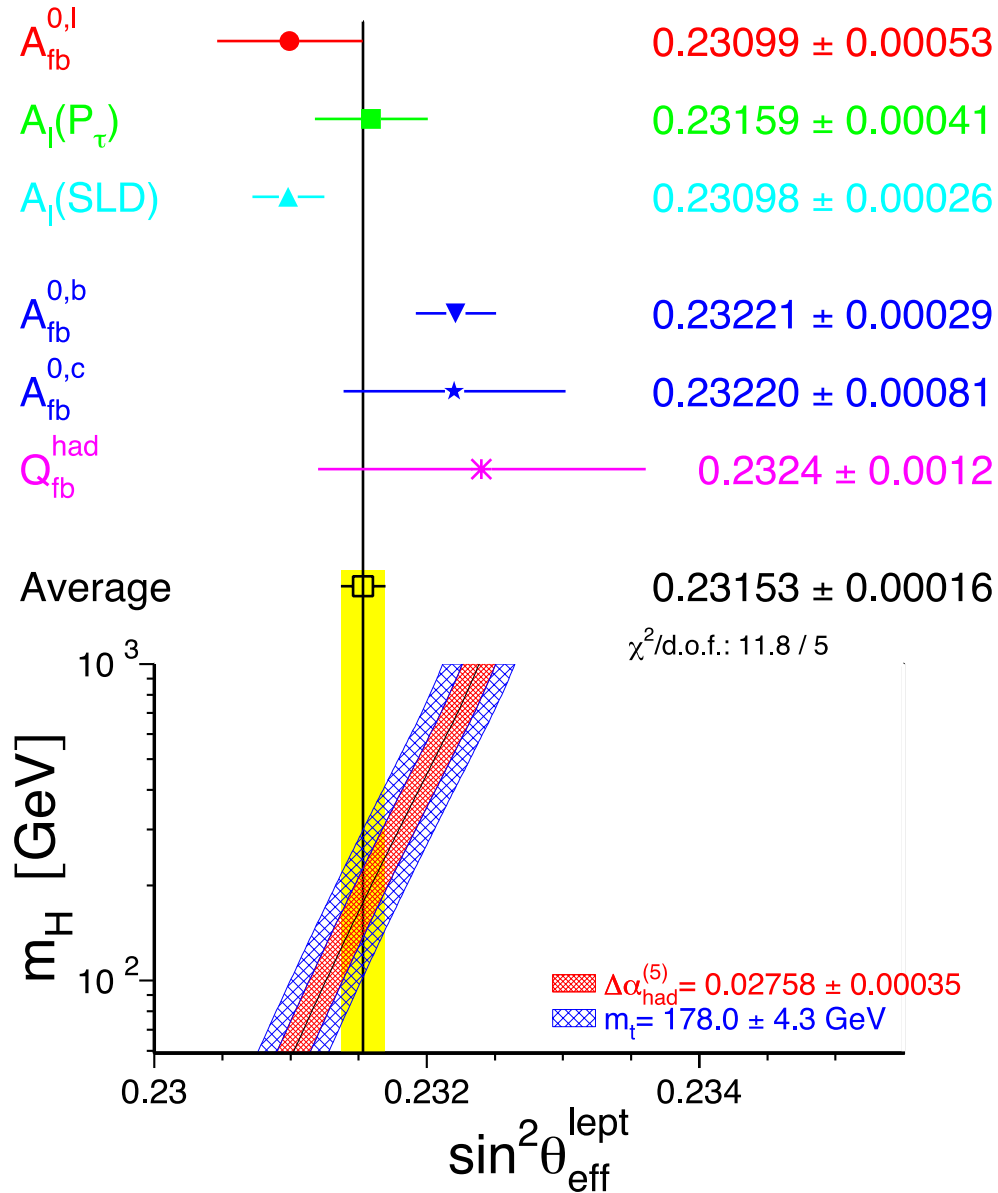


Standardmodell-Vorhersage
ohne Quantenkorrekturen:

$$g_A = T_3$$

$$g_V = T_3 - 2 Q \sin^2 \theta_W$$

Messungen des schwachen Mischungswinkels



LEP am CERN / Genf

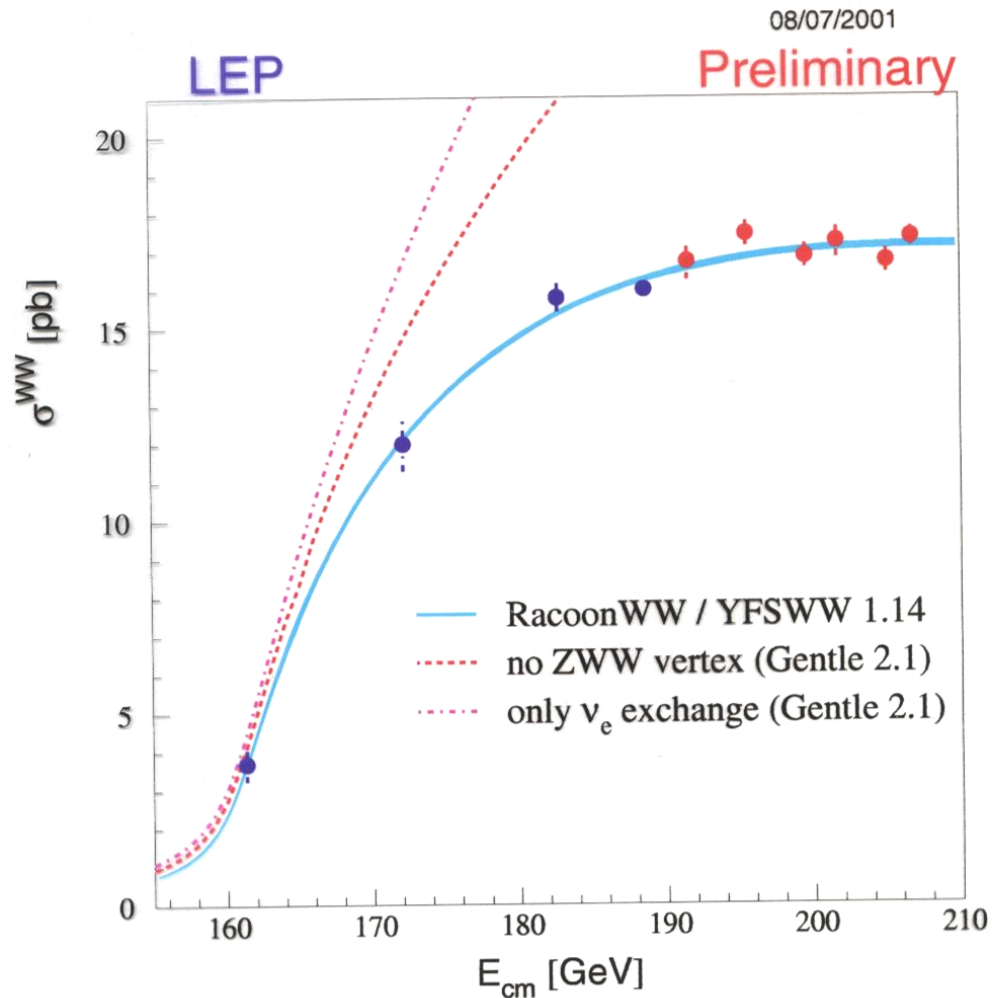
e^+e^- -Beschleuniger,
27 km Umfang

LEP-I (1989-1995) $\sqrt{s} = 91 \text{ GeV}$

LEP-II (1996-2000) $\sqrt{s} \rightarrow 208 \text{ GeV}$



Wirkungsquerschnitt für die W-Paarproduktion, LEP-II



Precision measurements of m_W and m_{top}

Motivation:

W mass and top quark mass are **fundamental parameters** of the Standard Model;
 The standard theory provides well defined **relations between m_W , m_t and m_H**

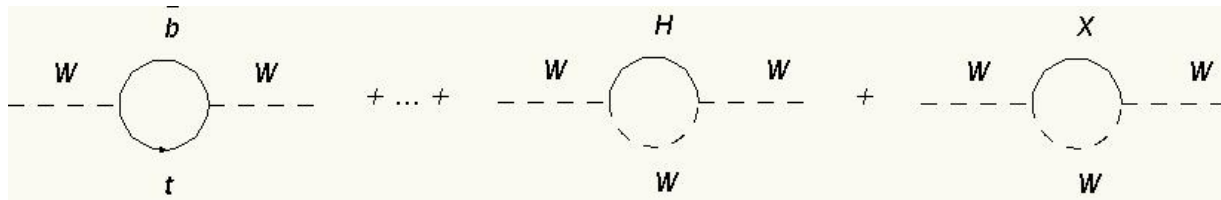
Electromagnetic constant
 measured in atomic transitions,
 e^+e^- machines, etc.

$$m_W = \left(\frac{\pi \alpha_{EM}}{\sqrt{2} G_F} \right)^{1/2} \frac{1}{\sin \theta_W \sqrt{1 - \Delta r}}$$

α_{EM} : Electromagnetic constant
 G_F : Fermi constant measured in muon decay
 θ_W : weak mixing angle measured at LEP/SLC
 Δr : radiative corrections
 $\Delta r \sim f(m_{\text{top}}^2, \log m_H)$
 $\Delta r \approx 3\%$

$G_F, \alpha_{EM}, \sin \theta_W$
 are known with high precision

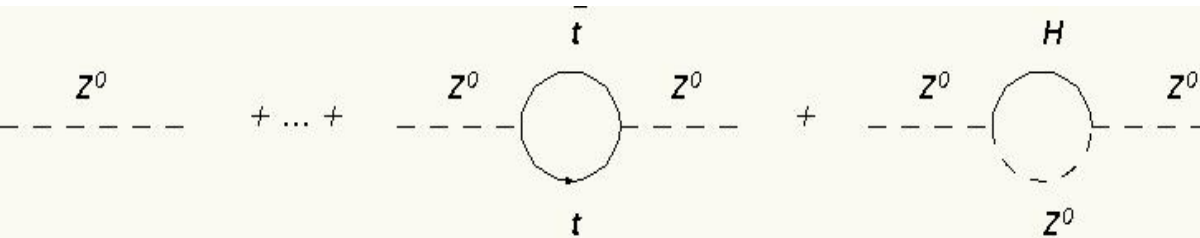
Precise measurements of the W mass and the top-quark mass constrain the Higgs-boson mass
 (and/or the theory, radiative corrections)



Indirekte Grenzen (aus Präzisionsmessungen):

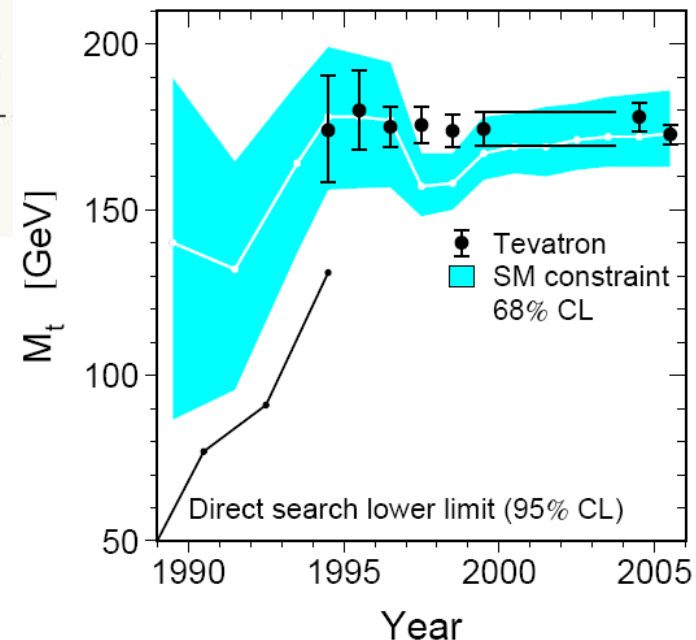
- Im Standardmodell sind alle Wechselwirkungen der Teilchen untereinander (Kopplungsstärken) exakt festgelegt
- In der Quantenfeldtheorie müssen auch Quantenkorrekturen in der Berechnung von Streuprozessen, Massen, etc. berücksichtigt werden. Hierbei treten Beiträge von sog. virtuellen Teilchen auf, d.h. Teilchen machen sich bereits weit unterhalb ihrer Energie/Massenskala bemerkbar.

Beispiel: Einfluss des Top-Quarks auf die Z^0 -Masse (LEP, 1990er Jahre)

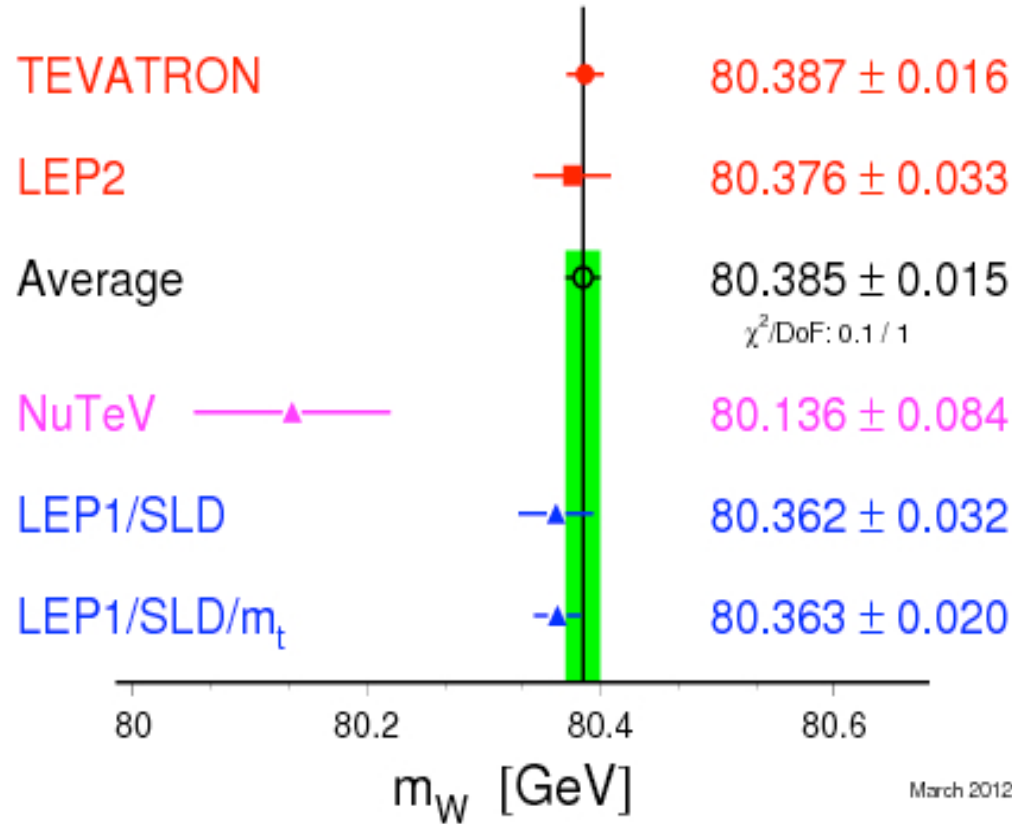


$$m_Z^2 = m_Z^2(0) \cdot (1 + \Delta(m_t, m_H, \dots))$$

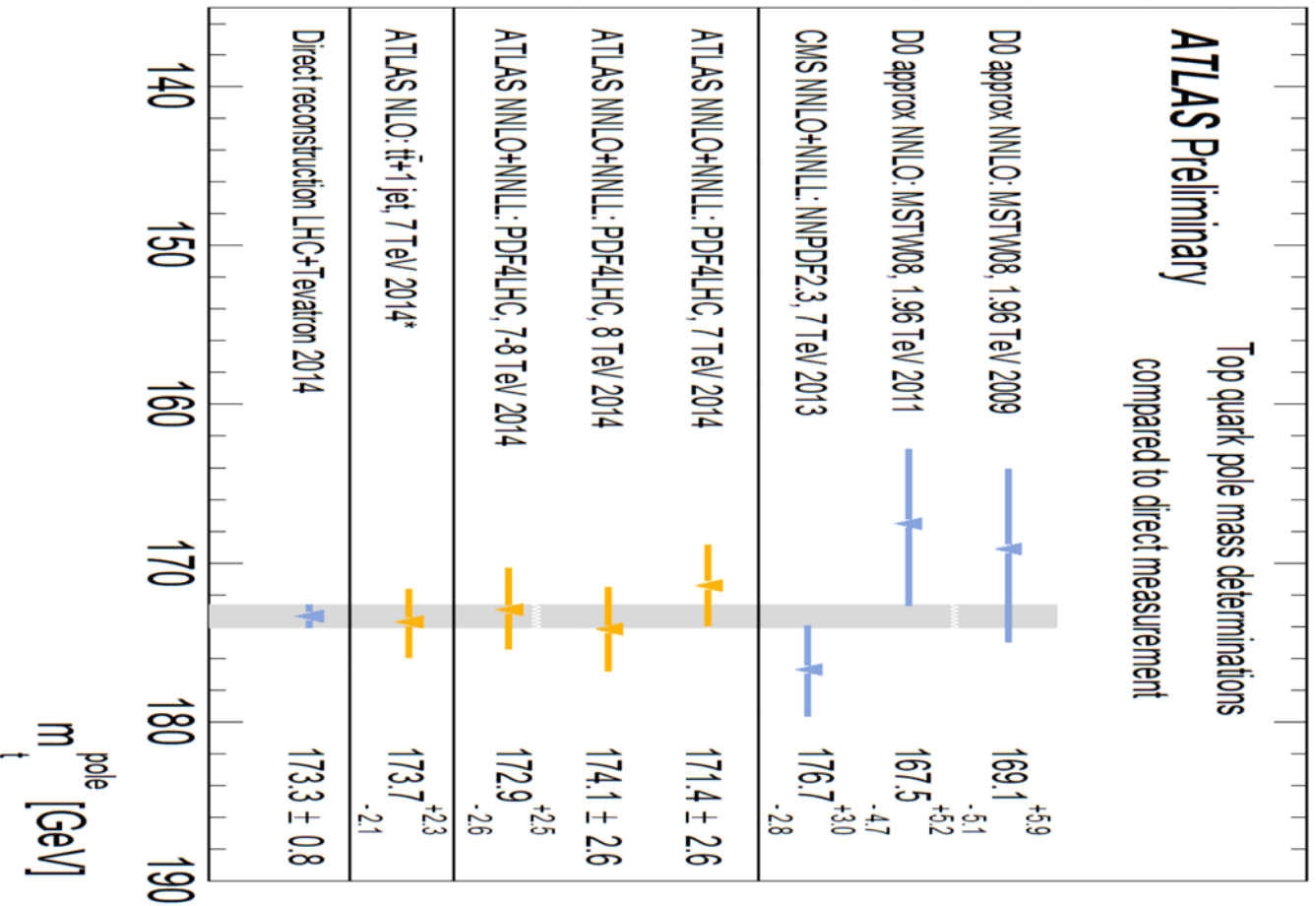
$$\Delta = \dots + c_1 \cdot m_t^2 + \dots + c_2 \cdot \ln m_H + \dots$$

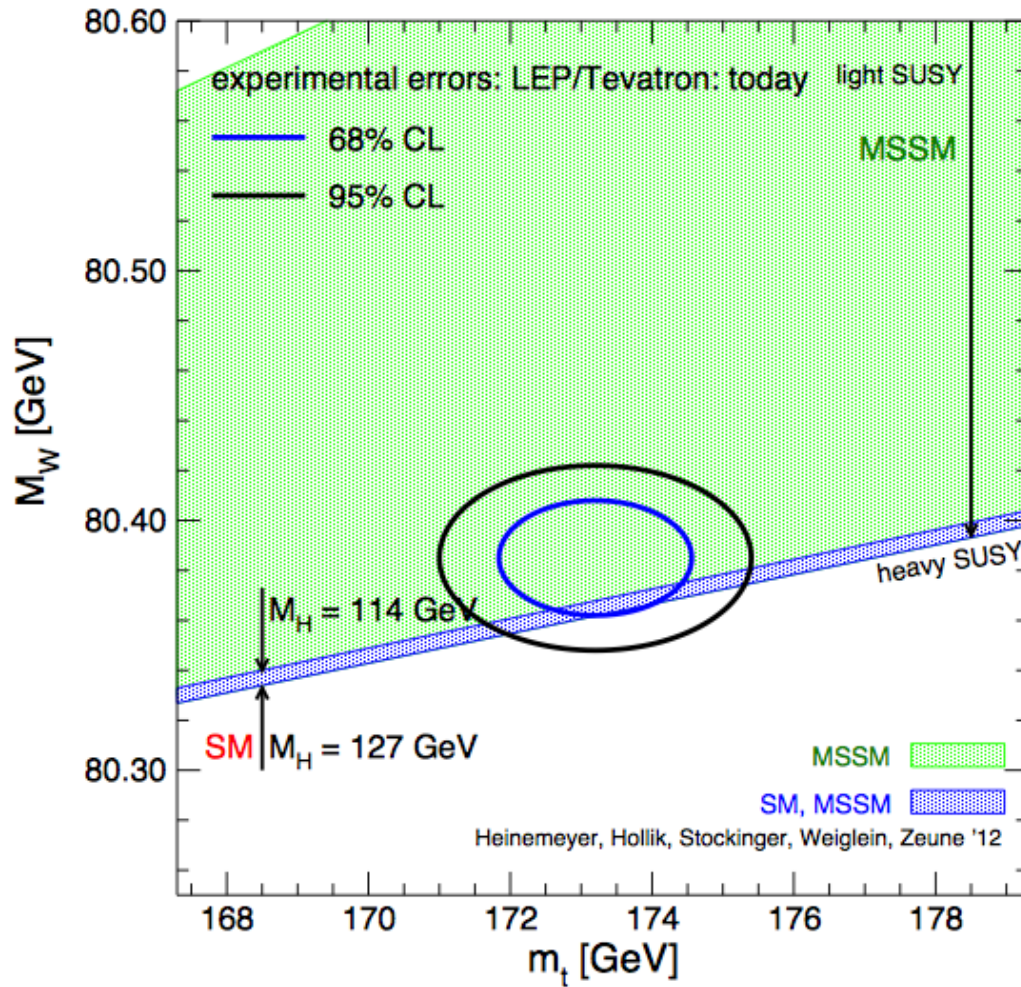


W-Boson Mass [GeV]



ATLAS Preliminary
 Top quark pole mass determinations
 compared to direct measurement





2012

